

# 加味淸肝湯이 N-nitrosomorpholine으로 誘導된 前癌性 肝病變에 미치는 영향

김동희\* · 최정목<sup>1</sup> · 조동일

대전대학교 한의과대학 한방병리학, 1: 대전보건대학

## Effect of Kamicheonggan-tang on Pre-hepatocarcinogenesis Induced by N-nitrosomorpholine

Dong Hee Kim\*, Jeung Mok Choi<sup>1</sup>, Dong il Jo

*Department of Pathology, college of Oriental Medicine, Daejon University, 1:Daejon Health college*

The purpose of this study was to evaluate the protective effect of Kamicheonggan-tang(KCGT) on pre-hepatocarcinogenesis induced by N-nitrosomorpholine. The studied using blood chemistry, lipidperoxidation, antioxidant, immunohistochemistry and morphological change. The results were obtained as follows. In the pre-hepatocarcinogenesis induced by NMP, serum AST, ALT, ALP and total bilirubin were not changed in NMP and NK treated group after 1st week, but decreased in NK treated group after 4th week as compared with NMP treated 4th week group. The content of GSH was similary to in NK treated groups as compares with data of normal group. The content of MDA was increased in NK treated group after 1st and 4th week, and more increased in the NMP treated group than those of their NK treated group. The immunohistochemically, stain of GST-p, positive lesions of KCGT were significantly decreased than those of NMP treated group. The histopathologically, fat changes, nucleotic changes, oval cell and inflammatory cells in periportal were observed in NMP treated fater 4th week, but those were significantly decreased from 4th week in the NK treated group. And the enlarged nucleus was not changed in KCGT treated group, but increased in NMP treated group after 1st and 4th week. The ultrastructurally, nucleotic changes, glycogen degeneration, lipid droplet and rER fragmentation were observed in NMP treated group after 4th week, but those changes were significantly decreased from 4th week in the NK treated group. These results suggested that KCGT extracts has protective effect on prehepatocarcinogenesis by NMP, might be usefully applied for clinical treatment of hepatic disease and also it was necessary to do more studies about its mechanisms.

**Key words :** Kamicheonggan-tang(加味淸肝湯), N-nitrosomorpholine, blood chemistry, GSH, MDA, GST-p

### 서 론

최근 過多한 스트레스와 飲酒, 各種 藥物의 誤濫用, 環境問題로 인한 中毒 등과 더불어 運動量의 減少로 인하여 肝癌을 비롯한 肝疾患의 發生이 날로 增加 趨勢에 있다<sup>1)</sup>. 2000년 統計廳資料<sup>2)</sup>에 의하면 人口 10萬名 당 21名이 肝 및 肝內膽管의 惡性新生物로 死亡하였다고 報告되었으며, 여기에 肝硬化나 肝炎 등의 기타 肝疾患으로 死亡한 數를 더하면 死因 3位를 차지할 정도

로 높다. 이는 全體 OECD 會員國中 結核과 함께 가장 높은 死亡率을 점하고 있어 醫學界의 主要 課題로 남아 있다<sup>1)</sup>. 이러한 社會的 現實로 인하여 肝損傷에 대한 多樣한 研究가 進行되고 있는데, 최근에는 分子生物學의 發展과 더불어 細胞死滅(apoptosis), 纖維化 關聯因子, 細胞 週期調節 遺傳子 및 肿瘍 抑制 遺傳子 등에 대한 研究<sup>2-6)</sup>가 活發하게 이루어지고 있으며, 이와 더불어 天然物에서 治療劑 開發을 위한 많은 研究와 投資가 이루어지고 있다. 韓醫學에서의 肝損傷은 肝積, 肝癰, 肥氣, 黃疸, 積聚, 鼓脹, 腸痛, 脹滿, 勞倦傷 및 酒傷 등의 範疇에서 取扱하고 있으며<sup>7-9)</sup>, 《難經》<sup>10)</sup>의 “脾之積… 腹大如盤, 久不愈, 令人四肢

\* 교신저자 : 김동희, 대전광역시 동구 용운동, 대전대학교 한의과대학  
E-mail : dhkim@dju.ac.kr Tel : 042-280-2623  
· 접수: 2002/06/05 · 수정: 2001/07/18 · 채택 : 2002/08/02

1) 통계청, [http://www.nso.go.kr/cgi-bin/sws\\_999.cgi](http://www.nso.go.kr/cgi-bin/sws_999.cgi)

不收，發黃疸，飲食不爲肌膚”，《諸病源候論》<sup>11)</sup>의 “診得肝積…脇下痛引少腹 ……身無膏澤，喜轉筋，爪甲枯黑”，《聖濟總錄》<sup>12)</sup>의 “積氣在腹中，久不差 …致臟腑氣虛弱，飲食不消，按之其狀如杯盤卑結，久不已，令人身瘦而腹大，至死不消”，《肘後備急方》<sup>13)</sup>의 “…腹中有物如石 痛如刺 曬夜啼呼 不治之百日死” 등은現在의 肝癌으로 인한 腸痛，腹水，黃疸 및 營養障礙 등의 病證과 類似하게 記述되어 있다. 따라서 現在 이러한 疾患 및 症狀에 사용된 藥物과 處方이 肝硬化，肝癌 등으로 인한 肝損傷의 治療와 預防을 위해 應用되고 있다. 本 試料인 加味淸肝湯은 健脾理氣，淸熱解毒，化瘀軟堅法를 併用한 綜合 併用 投與群이 肝癌 治療에 가장 效果의이라는 理論<sup>14)</sup>에 準하여 虎杖根을 비롯한 淸熱解毒藥에 活血化瘀藥과 扶正藥을 配合하여 造成한 攻補兼用之劑이다. 本 實驗에서 使用한 N-nitrosomorpholine(NMP)은 Morpholine의 일종으로 아민 氮새를 가지며 여러 가지 染料를 녹이는 溶解劑나 부식방지제， 산화방지제，殺蟲劑， 곰팡이 제거제，除草劑 및 局所麻醉劑 등으로 널리 사용되고 있으며，이들이 細菌이나 기타 작용에 의해 N-nitrosomorpholine으로 변환된다. 實驗의으로는 肝癌을 誘發할 때 "stop experimental model"에 사용되는 代表의 인 發癌性 物質로，cytochrome p450(CYP2E1)계에 의해 活成化되어 肝細胞內 DNA 鹽基에 作用함으로써 肝細胞癌을 誘發한다고 報告되고 있다<sup>15)</sup>. 따라서 本 研究에서는 肝硬化，肝癌 등에 效果의인 治療 處方를 開發하기 위한 一環으로，NMP에 의한 初期 肝癌 誘發 過程에 加味淸肝湯을 병용 投與하여 血清學的 變化를 中心으로 抗酸化，免疫組織化學，組織學的 및 微細構造的 變化 등을 조사한 結果 有意味 있는 結果를 얻었기에 報告하는 바이다.

## 재료 및 방법

### 1. 動物 및 實驗群 選定

實驗 動物은 大韓實驗動物센터로부터 出生 5주된 Sprague-Dawley(SD)계 수컷 흰쥐를 分讓받아 溫度 ( $20^{\circ}\text{C} \pm 2^{\circ}\text{C}$ )와 濕度 ( $60\% \pm 5\%$ )를維持하면서 體重  $180g \pm 10g$  정도로 成長 飼育시켜 外觀上 活發하며 健康하다고 생각되는 個體들을 選別하여 實驗에 이용하였다. 對照群(NMP)은 리터 당 N-nitrosomorpholine (Sigma, U.S.A)  $200\text{mg/l}$  濃度의 飲用水를 만들어 自由 飲用시켰고，飼料는 一般 實驗 動物用 飼料를 食餉토록 하였다. KCGT單獨 投與群은 製造된 藥劑를 一般 實驗 動物用 飼料에 0.5% 濃度로 混合하여 自由 食餉토록 하였다. NMP와 KCGT 併用 投與群(NK)에서는 藥劑가 添加된 同一한 飼料와 NMP가 포함된 飲用水를 自由 食餉토록 하였다. 正常群은 일반 飲用水와 사료를 自由 食餉토록 하였다(Table 1).

Table 1. Experimental Group Design

Groups	Duration	1 week	2 week	4 week	Total
Normal		5	5	5	15
KCGT		6	6	6	18
NMP		6	6	8	20
NK		6	6	8	20

KCGT : Diet containing 0.5% KCGT, NMP : Drinking water containing  $200\text{mg}$  N-nitrosomorpholine( $200\text{mg/l}$  water), NK : Diet containing 0.5% KCGT with drinking water containing  $200\text{mg}$  N-nitroso morpholine

### 2. 試料 藥物

本 實驗에 使用한 加味淸肝湯(Kamicheonggan-tang : 이하 KCGT라 칭함)의 構成 藥劑中 白花蛇舌草, 鬱金, 薑黃은 中國 上海中醫藥學院에서 直接 購入하여 使用하였고，기타 構成 藥物은 大田大學校 附屬韓方病院에서 購入한 後 精選하여 使用하였다. 處方 1貼의 內容과 分量은 다음과 같다.

Table 2. Prescription of Kamicheonggan-tang

藥物名	生藥名	用量(g)
虎杖根	Polygoni Cuspidati Rhizoma	10
山豆根	Sophorae Tonkinensis Radix	10
龍膽	Gentianae Radix	3
大黃	Rhei Radix et Rhizoma	3
白花蛇舌草	Oldenlandiae Diffusae Herba	10
連翹	Forsythiae Fructus	3
黃芪	Astragali Radix	6
山楂子	Crataegii Fructus	6
赤芍藥	Paeonia Radix Rubra	6
茅根	Imperatae Rhizoma	6
鱉甲	Trionycis Carapax	3
薑黃	Curcumae Longae Rhizoma	6
鬱金	Curcumae Radix	3
當歸	Angelicae Gigantis Radix	3
紅蔴麥	Ginseng Radix	6
枸杞子	Lycii Fructus	6
五味子	Schizandraceae Fructus	6
石菖蒲	Acori Graminei Rhizoma	6
柴胡	Bupleuri Radix	6
三七	Notoginseng Radix	3
牡丹皮	Moutan Cortex	4
總量		115

### 3. 試料의 製造

KCGT 2貼 分量( $230\text{g}$ )에 蒸溜水  $2,000\text{ml}$ 을 添加하여 热湯 抽出器에서 3時間 동안 抽出하여 抽出液를 얻고，이를 吸入 濾過하여 濾液을 減壓蒸溜裝置(Rotary evaporator, Buchi 461, Switzerland)로 減壓 濃縮하고，濃縮液를 다시 凍結 乾燥器(Freeze dryer, FDU-540, Eyela, U.S.A)를 이용하여 完全 乾燥하여  $45.2\text{g}$ 을 冷凍 保管하였으며， 實驗에 適當 溫度로 溶液을 製造하여 使用하였다.

### 4. 各種 血清成分 測定

血清中 total protein, total cholesterol, triglyceride, aspartate amino transferase (AST), alanine amino transferase(ALT) 및 Alkaline phosphatase(ALP) 활성치와 total bilirubin 含量은 自動生化學分析機(Express 550, Ciba-Corning Co., U.S.A)을 使用하여 測定하였다.

### 5. 抗酸化作用 測定

#### 1) Reduced glutathione(GSH) 含量 測定

組織中の GSH 含量은 Ellman의 方法<sup>16)</sup>에 따라 測定하였다. 組織 마쇄균질액 일정량은 4% sulfosalicylic acid  $0.5\text{ml}$ 를 넣고 遠心分離한 다음 上層液 一定量을  $0.1\text{mM}$  5,5'-dithio-bis(2-nitrobenzoic acid)를 含有한  $0.1\text{M}$  인산완충용액(pH 8.0)에 넣

고 反應시켜 生成된  $\rho$ -nitrothiophenol의 吸光度를 測定하였다. GSH 含量은 組織 g당  $\mu$ mole로 表示하였다.

## 2) Malondialdehyde(MDA) 含量 測定

組織中の 過酸化 脂質含量은 Ohkawa 등의 方法<sup>17)</sup>에 따라 測定하였다. 試料속의 過酸化 脂質은 酸性 條件下에서 2-thiobarbituric acid 溶液과 加熱 反應시켜 생긴 MDA의 吸光度를 532nm에서 測定하였다. MDA 含量은 組織 g당 nmole로 表示하였다.

## 6. 一般 組織學的 檢查

實驗 動物은 屠殺 12 時間 전에 食餌를 中斷시키고, 空腹 狀態에서 에테르 吸入 瘫醉시킨 다음 腹部와 胸廓을 切開한 뒤 腹大動脈에서 採血을 實施하고, 門靜脈을 通過 冷生理食鹽水를 주사기를 이용하여 適當한 壓力으로 肝內 나머지 血液을 除去하였다. 摘出한 肝은 左, 右葉 一定 部位를 適當한 크기로 자른 다음 通常의 方法에 따라 10% 中性 포르말린에 48時間 동안 固定하고, 組織內 固定液 除去를 위해 흐르는 물에 水洗를 한 후, 60% 알콜 濃度로부터 濃度 上승순으로 脱水하였다. 脱水 過程 이후 toluene에 透明 過程을 거친 다음 溶解된 파라핀에 浸透 및 포매 과정을 거쳐 블럭을 製作하였다. 만들어진 블럭은 4 $\mu$ m 두께로 切片을 만들어 一般的의 變化를 觀察하기 위해 hematoxylin과 eosin(H&E) 染色을 實施하여 光學顯微鏡下에서 觀察 및 寫真撮影하였다.

## 7. 免疫組織化學的 觀察

免疫組織化學의 觀察을 위해 파라핀 블럭을 4 $\mu$ m 두께로 切片을 만들어 silanized coating 슬라이드에 附着한 다음 탈파라핀 및 腸수 과정을 걸친 다음 一般的의 方法과 同一하게 tris-buffer saline(TBS)로 5분간 洗滌하였다. 免疫 染色은 LSAB+kit(DAKO Co.)를 이용하였다. 먼저 内재성 peroxidase의 活性을 抑制시키기 위해 3% H<sub>2</sub>O<sub>2</sub>로 5분간 방치시킨 다음 TBS로 洗滌하였다. 使用한 一次 抗體는 전암성 병소의 지표로 (preneoplastic marker)로 사용되고 있는 태반형 glutathion S-transferase(GST-P, Rabbit polyclonal, Novocastra Lab Co.)를 1: 100으로 稀釋하여 室溫에서 2時間 동안 反應시킨 다음 TBS로 洗滌하였다. 1次 免疫反應이 끝난 다음 連結抗體(link-antibody)로 biotinylated anti-mouse immunoglobulin에 15분간 反應시켰다. TBS로 洗滌한 다음 streptavidin conjugate에 15분간 反應시킨 후 TBS로 洗滌하고 DAB-chromogen에 發色시킨 다음 Mayer hematoxylin에 對照 染色을 하여 gel/mount(Biomedica, USA)에 봉입한 다음 光學顯微鏡(Olympus BH-2, Japan)으로 檢鏡하였다.

## 8. 變形된 肝細胞 核의 數 算定

變形된 核의 數는 각 實驗群과 實驗 期間에 따라 製作된 H&E 一般染色된 組織 標本을 이용하여 1개의 slide 標本에서 4 장씩(20~30장/實驗군) 400 倍率로 無作為로 寫真撮影하여 4×5" 크기로 인화하였다. 寫真上에서 正常群의 平均 核의 크기(4.

5~5mm)보다 直徑이 25~30% 以上(7mm이상)되는 核의 數를 算定하여 觀察되는 總 肝細胞核의 數에서 %로 換算하였고, 統計 處理는 Student's t-test로 하였으며, 有意水準은 0.05 以下로 하였다.

## 9. 電子顯微鏡的 觀察

摘出한 肝組織은 즉시 1×2×1.5mm 크기로 細切한 다음, 2.5% glutaraldehyde (in 0.1M PBS, pH7.4)에 4°C에서 24時間 固定하고, 固定液 除去를 위해 PBS 溶液에 약 20분씩 3회 反復 洗滌하였다. 後固定으로 1% OsO<sub>4</sub>에 2시간 동안 固定하고 60% 알코올부터 농도 상승순으로 탈수, 침투, 포매 및 甲醛合과정을 거쳐 Epon 混合物로 블록을 製作하였다. 製作된 블록은 초박절편 기를 이용하여 1 $\mu$ m 두께로 박절한 다음 0.5% toluidine blue로 染色하여 光學顯微鏡下에서 微細 觀察 部位를 選定하였다. 選定된 組織 部位는 80~90nm 두께로 초박절편을 만들어 uranyl acetate 와 lead citrate 溶液에 2중 電子 染色을 實施한 다음 洗滌하고 乾燥하여 加速電壓 75Kv에서 透過 電子顯微鏡(Hitachi H-600, Japan)으로 관찰 및 寫真 摄影하였다.

## 實驗成績

### 1. 肉眼的 所見

各 實驗 動物은 正常群과 KCGT 投與群에서는 實驗 期間 동안 死亡없이 健康하였고, NMP 投與群에서는 實驗 2주째 1마리, 4주째에서 3마리가 死亡하였고, NK 併用 投與群에서는 2주째 1마리, 4주째에 1마리씩 死亡하였다. 肝의 外形의 所見으로는 NMP 投與群에서만 實驗 4주째에 一部의 肝에서 正常群보다 表面이 다소 거칠게 觀察되었다.

### 2. 血清 生化學的 檢查 結果

#### 1) AST 활성치에 미치는 影響

血清中 AST의 活성치 변화는 正常群은 實驗 기간에 따라 약간 增加하였으며, KCGT 投與群에서는 正常群과 比較하여 약간 낮게 測定되었다. NMP 投與群에서는 實驗 1주와 4주에서 實驗 期間에 따라 顯著히 增加하였고, NK 投與群에서는 實驗 1주에서는 NMP 投與群과 비슷한 結果值를 보였으나, 實驗 4주에서는 顯著히 減少하였다(Table 2).

#### 2) ALT 活성치에 미치는 影響

血清 ALT 活성치 변화는 正常群에서는 實驗 1주에서 보다 實驗 4주에서 약간 增加하였다. 반대로 KCGT 投與群에서는 實驗 1주와 4주의 實驗 期間에 따라 減少하였다. NMP 投與群에서는 實驗 1주이 비해 4주에서 實驗 期間에 따라 顯著히 增加하였고, NK 投與群에서는 實驗 1주에서는 NMP 投與群에 비해 다소 높은 數值를 보였으나, 實驗 4주에서는 顯著히 減少하였다(Table 3).

#### 3) ALP 活성치에 미치는 影響

血清 ALP 活성치 변화는 正常群에서는 實驗 1주와 4주에

따라 實驗期間이 比例하여 增加하였고, KCGT 投與群에서도 비슷한 結果와 變化 樣相을 보였다. NMP 投與群에서는 實驗 1주와 4주의 實驗期間에 따라 顯著히 增加하였다. NK 投與群에서는 實驗 1주에서는 NMP 投與群과 비슷한 數値를 보였으나, 實驗 4주에는 NMP 投與群과 比較하여 減少하였다(Table 3).

#### 4) Total bilirubin 含量 變化에 미치는 影響

血清中 total bilirubin 含量을 測定한 結果, 正常群은 각 實驗기간에 따라 비슷하였고, KCGT 投與群에서도 비슷한 結果와 變化 樣相을 보였다. NMP 投與群에서는 實驗 1주에서는 正常群과 KCGT 投與群과 比較해 높은 數値를 보였고, 實驗 4주에서도 현저히 增加하였다. NK 投與群에서는 實驗 1주에서는 NMP 投與群과 類似하였으나 實驗 4주에서는 NMP 投與群과 比較하여 顯著히 減少하였다(Table 3).

Table 3. Changes of Serum enzyme activity in KCGT and NMP treated Rats

	Normal	KCGT	
AST (Karmen unit/ml)	1w 2w 4w	95.2 ± 10.7 102.3 ± 13.4 101.5 ± 11.5	96.8 ± 14.7 95.0 ± 11.4 91.3 ± 15.9
ALT (Karmen unit/ml)	1w 2w 4w	44.7 ± 5.4 42.1 ± 6.7 53.7 ± 8.1	51.2 ± 6.7 52.5 ± 9.4 37.7 ± 6.2
ALP (KA unit)	1w 2w 4w	258.9 ± 31.4 336.7 ± 44.8 384.2 ± 47.2	286.7 ± 69.4 402.3 ± 89.2 387.3 ± 79.6
Total bilirubin (mg/dl)	1w 2w 4w	0.11 ± 0.02 0.16 ± 0.03 0.14 ± 0.02	0.11 ± 0.07 0.14 ± 0.05 0.13 ± 0.05
	NMP	NK	
AST (Karmen unit/ml)	1w 2w 4w	162.3 ± 13.4 202.9 ± 23.1 547.2 ± 29.2	164.3 ± 23.6 187.9 ± 18.1 243.9 ± 23.1
ALT (Karmen unit/ml)	1w 2w 4w	134.8 ± 13.1 249.3 ± 13.4 387.5 ± 36.8	154.2 ± 16.4 168.5 ± 23.1 158.8 ± 29.6
ALP (KA unit)	1w 2w 4w	449.7 ± 43.4 964.3 ± 119.2 1528.7 ± 183.4	509.5 ± 49.2 802.7 ± 113.4 1118.2 ± 123.7
Total bilirubin (mg/dl)	1w 2w 4w	0.23 ± 0.09 0.41 ± 0.12 1.62 ± 0.32	0.21 ± 0.08 0.33 ± 0.10 0.65 ± 0.05

Values are Mean ± SD.

#### 3. GSH 含量 變化에 미치는 影響

組織內 GSH 含量을 測定한 結果, 正常群은 實驗 1주와 4주에서 각각  $4.16 \pm 0.15$ 와  $4.14 \pm 0.33 \mu\text{moles/g}$ 로 實驗期間에 따라서도 비슷하였고, KCGT 投與群에서도 비슷한 結果와 變化 樣相을 보였다. NMP 投與群에서는 實驗 1주에서  $6.71 \pm 0.15 \mu\text{moles/g}$ 로 正常群과 KCGT 投與群과 比較해 높은 數値를 보였고, 實驗 4주에서는  $2.44 \pm 0.15 \mu\text{moles/g}$ 로 顯著히 減少하였다. NK 投與群에서는 實驗 1주에서는  $5.88 \pm 0.15 \mu\text{moles/g}$ 로 正常群과 KCGT 投與群과 比較해 약간 높은 數値를 보였고, 實驗 4주에서는  $4.28 \pm 0.15 \mu\text{moles/g}$ 로 正常群과 비슷한 結果値를 보였다(Table 2).

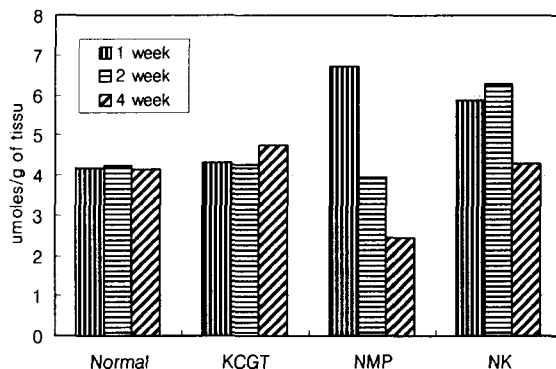


Fig. 1. Effects of KCGT on GSH Activity in NMP-treated Rats

#### 4) MDA 含量 變化에 미치는 影響

組織內 MDA 含量을 測定한 結果, 正常群은 實驗 1주와 4주에서 각각  $2.13 \pm 0.15$ 와  $2.34 \pm 0.13 \mu\text{moles/g}$ 로 實驗期間에 따라서도 비슷하였고, KCGT 投與群에서도 비슷한 結果와 變化 樣相을 보였다. NMP 投與群에서는 實驗 1주와 4주에서 각각  $3.13 \pm 0.22$ 와  $4.68 \pm 0.35 \mu\text{moles/g}$ 로 현저히 增加하였다. NK 投與群에서는 實驗 1주와 4주에서 각각  $3.33 \pm 0.31$ 과  $4.47 \pm 0.36 \mu\text{moles/g}$ 로 약간 增加되었으나 NMP 投與群과 比較하여 增加幅은 減少하였다(Fig. 2).

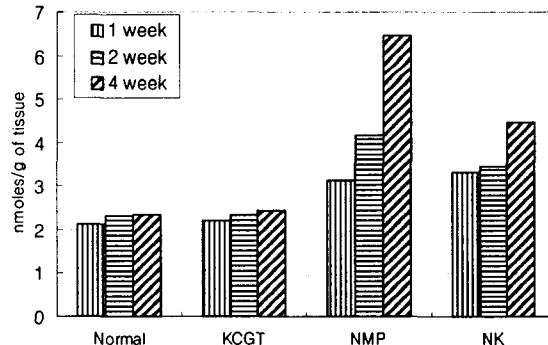


Fig. 2 Effects of KCGT on MDA Level in NMP-treated Rats

#### 5) 一般 組織學的 觀察

正常群에서 觀察된 肝의 組織學的 所見으로는 中心 靜脈을 중심으로 肝細胞들은 放射狀으로 배열하고 있고, 門脈域을 中心으로 한 典型的인 간소엽 構造가 잘 觀察되었다(Fig. 3). KCGT 投與群 1주, 2주 및 4주(Fig. 4)에서도 正常群과 類似한 肝小葉 構造를 하고 있으며, 어떠한 損傷도 確認할 수 없었다. NMP 投與群에서는 1주에서 肝實質의 小葉 形態는 어느 정도 維持하면서 약간의 變化가 觀察되었다. 中心靜脈 周邊에서 局所 多發的으로 好酸性 細胞(eosinophilic cell)들이 觀察되고, 일부 肝細胞들에서는 正常 肝細胞의 核 크기 보다 다소 큰 核을 가지는 細胞들도 小數 觀察되었다. 4주에는 實質 細胞들의 크기가 대소 부동형을 가지면서 肝小葉 構造는 많은 變形을 보였다. 일부 肝細胞들에서는 好酸性 變成과 細胞質內에는 크고 작은 지방적들이 觀察되었고, 核의 變化가 심하였다. 核은 400倍率의 사진상에서 正常群과

KCGT 投與群에서는 4~5mm의 直徑을 가지고 있었으나, NMP 投與群에서는 다양한 크기로서 큰 것은 11~13mm의 大形 核들도 다수 觀察되었고, 이들 변형된 大形核을 가지는 細胞들은 實驗 期間에 비례하여 數가 增加되었다. 門脈域 周邊에서는 2주와 4주에서 時間에 따라 炎症 細胞의 양이 점차 增加됨을 觀察할 수 있었다(Fig. 5).

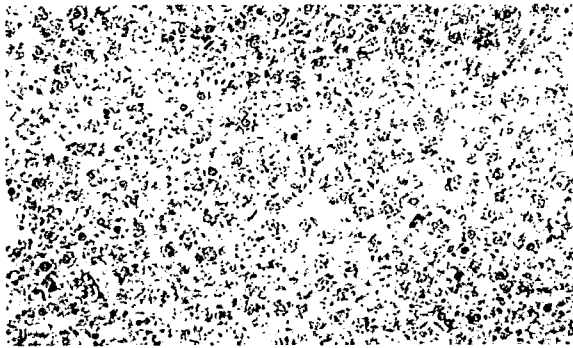


Fig. 3. Light micrographic observation of normal rat liver, H&E,  $\times 100$



Fig. 4. Light micrographic observation of liver at 4 week after KCGT treated group, H&E,  $\times 100$

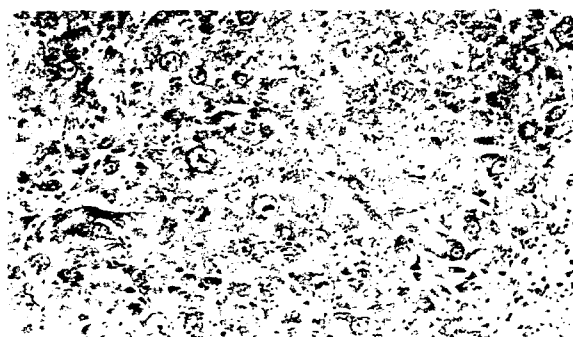


Fig. 5. Light micrographic observation of liver at 4 week after NMP treated group, H&E,  $\times 100$

NK 投與群에서는 NMP 投與群과 비슷한 所見으로 一部 細胞들에서 好酸性 細胞, clear cytoplasm을 가지는 細胞, 膨脹된 核들이 實驗기간에 비례하여 수가 增加되었으나 增加 정도는 NMP 投與群에 비해 현저히 減少되었다. 특히 實驗 4주에서는 NMP 投與 4주에서 觀察되는 細胞質內 지방적, 核의 크기 및 주변 門脈域에서 炎症 細胞들도 顯著히 減少되거나 觀察되지 않았다(Fig. 6).

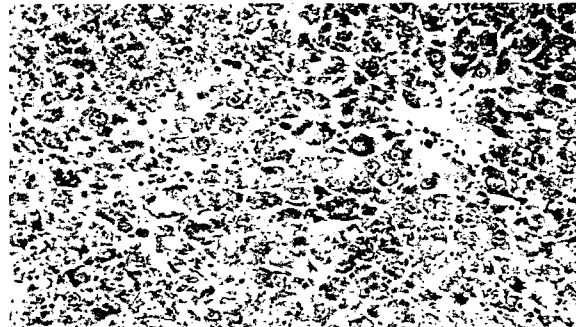


Fig. 6. Light micrographic observation of liver at 4 week after NMP with KCGT treated group, H&E,  $\times 100$

#### 6) 免疫 組織化學的 觀察

GST-P 抗體는 흰쥐의 정상 실질 肝細胞에서는 發顯되지 않으나 化學的 肝細胞癌 誘導 過程에서 肝細胞癌의 전암성 병소에서는 현저히 높게 발현됨으로서 전암성 병소(preneoplastic foci)의 指標 物質로 使用되고 있다. GST-P 免疫 染色 結果, 正常群과 KCGT 投與群에서는 肝實質 細胞에서는 陰性이고, 동양혈관(sinusoid)과 門脈域의 담소관에서만 약한 陽性 反應이 觀察되었다(Fig. 7).



Fig. 7. Immunohistochemical staining of GST-P in the liver at 4 week after KCGT treated group, Also, GST-P was expressed in the bile ductular lining epithelial cells. LSAB-peroxidase stain,  $\times 100$

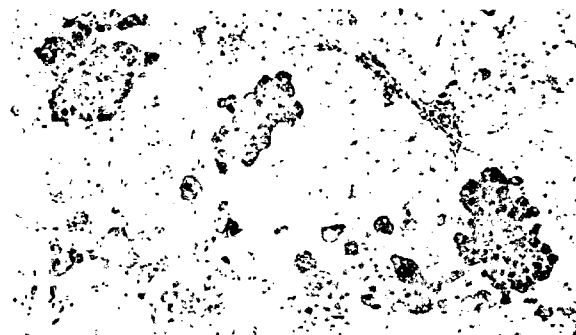


Fig. 8. Immunohistochemical staining of GST-P in the liver at 4 week after NMP treated group, GST-P was expressed in the hyperplastic nodule, LSAB-peroxidase stain,  $\times 100$

NMP 投與群에서는 實驗 1주에서는 중심 정맥과 문맥 주변에서 단독 혹은 3개 미만의 肝細胞들에서만 染色을 보이다가 實

驗期間에 비례하여 결절소를形成하면서 강한陽性反應을 보였다. 實驗4주에서는 단독세포形態보다는多樣한 크기의 군집을形成한集團의인陽性反應의出現頻度가 많았다(Fig. 8). NK投與群에서는 實驗1주에서는中心靜脈부근의肝實質細胞들에서 단독세포형태로만陽性으로보이다가 實驗기간에비례하여 20여개의미만의陽性反應細胞들로構成된群集들이觀察되며, 時間經過에 따라比較할 때 NMP投與群에비해陽性發顯정도는顯著히減少하였다(Fig. 9).

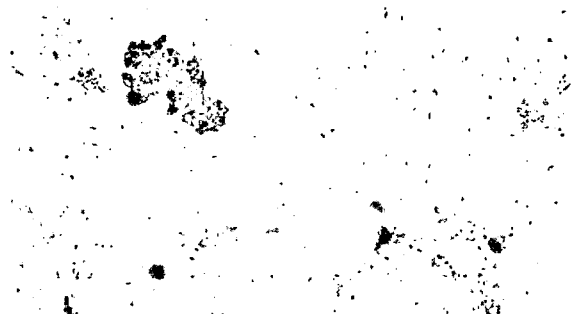


Fig. 9. Immunohistochemical staining of GST-P in the liver at 4 weeks after NMP with KCGT treated group, Positive areas were decreased compared to those of NMP treated 4 week group

#### 7) 變形된肝細胞核의數의變化

各實驗群에서光學顯微鏡上 400 배율로撮影한 후  $4 \times 5''$ 크기로 인화하여 사진상에서核의數의變化를觀察한結果,正常群과 KCGT投與群에서는 1주 2주 및 4주에서調查된核의크기는實驗期間에따라서는變化가없었고,平均크기는4.5~5mm정도였다. 變形된核의增加는正常群의average核크기보다直徑이약25%以上增加된(7mm이상)되는核의수를算定하였다(Fig. 10). NMP投與群에서는實驗1주와2주에서는최대크기가10mm미만(평균7.5~8.5mm)이었으나, 實驗4주에서는10~13mm정도의大形核들이다수觀察되었다(Fig. 11). 이와는달리NK投與群에서핵크기는NMP投與群과比較하여크기의增加정도는reduced하였고, 實驗4주에서최대直徑이10mm이상되는核의수는NMP投與群과comparison하여顯著히reduced하였다(Fig. 12). 각實驗群별核크기의變化정도는Table 4와같다.



Fig. 10. Light micrographic observation of liver at 4 week after KCGT treated group, H&E,  $\times 400$ , Size of nucleus were similar to normal hepatocyte nucleus.



Fig. 11. Light micrographic observation of liver at 4 week after NMP treated group, H&E,  $\times 400$ . Enlarged nucleus were observed

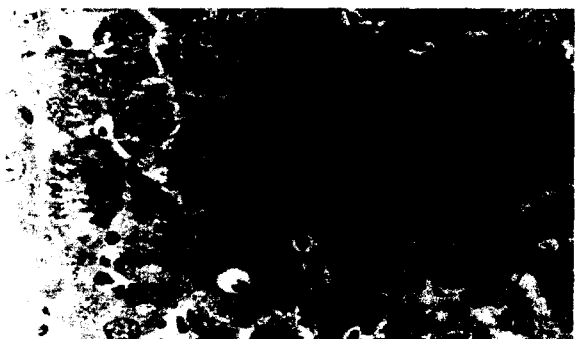


Fig. 12. Light micrographic observation of liver at 4 week after NMP with KCGT treated group, H&E,  $\times 400$ . Number of enlarged nucleus were decreased compared to those of the NMP 4th week group.

Table 4. Number of Enlarged Nuclei in Liver Among the Experimental Groups

	Normal	KCGT	NMP	NK
1 week	0	0	22.5 %	12.1 %
2 week	0	0	37.7 %	26.0 %
4 week	0	0	72.7 %	47.2 %

Number of enlarged nuclei / total nuclei of hepatocyte = %

#### 8) 電子顯微鏡的觀察

正常對照群에서觀察된肝細胞의核은등글며2종의染色質이잘관찰되고一部에서는核小體가보이지않거나작게觀察되었다. 細胞質에는구형및난원형의많은사립체, 산포된당원과립, 비교적規則의인配列를하고있는조면내형질세망, 과산화소체및소수의용해소체들이잘관찰되었다. 담모세관의내강은좁고內部에는많은일정한크기의미소옹모들이보이고이웃하는세포들사이에서는교소체(desmosome)를形成하고있으며, 막에는막함입(membrane infolding)構造物도관찰되었다(Fig. 13). KCGT投與群에서는肝細胞核의形態는正常細胞와同一하였다. 細胞質에서도類似한觀察所見을보였으나, 實驗期間에따라서細胞質內약간의자유리보솜및지방소적이증가하였다(Fig. 14). NMP投與群에서는實驗1주에서는일부核은다소不規則한形態를보이기시작하였고,染色質은부분적으로심하게농축과核小體(nucleoli)의發達이觀察되었다. 細胞質에서特徵의變化로조면내형질세망의배열이불규칙하고일부는단절되기도하며, 주변에는많은자유리보솜, 그리고다수의지방소적들이관찰되었다(Fig. 15).

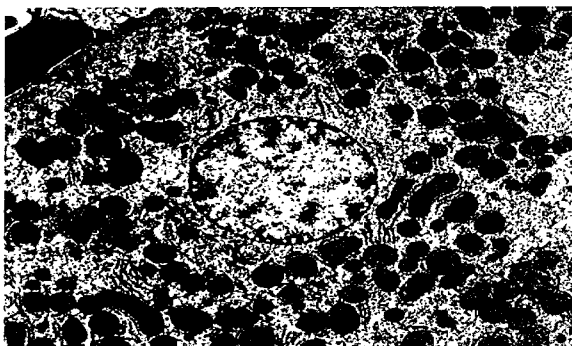


Fig. 13. Electron micrograph of the hepatocyte in normal group. Uranyl acetate and Lead citrate stain,  $\times 6,000$ . The number of mitochondria and rough endoplasmic reticulum(rER) were observed.

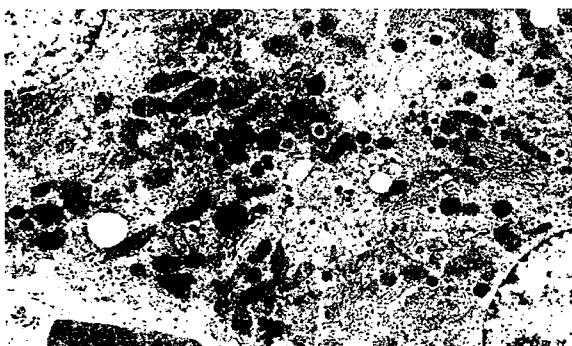


Fig. 14. Electron micrograph of the hepatocytes after 4th week treated with KCGT. Uranyl acetate and Lead citrate stain,  $\times 6,000$ . Small lipid droplet was found in the cytoplasm of hepatocyte

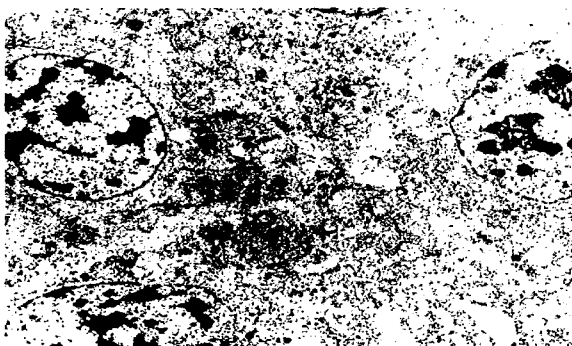


Fig. 15. Electron micrograph of the hepatocytes after 1st week treated with NMP. Uranyl acetate and Lead citrate stain,  $\times 6,000$ . Arrangement of rER were fragmented and detached of ribosome, and nucleus was irregular shaped.

實驗期間에 따라서 核과 細胞質에서는 變化가 심하였다. 實驗 4주에서는 一部 核은 심한 膨脹과 불규칙한 外形을 하고, 核 내부에는 多數의 核小體와 지방소적들도 포함하여 核의 變化가 심하였다. 細胞質에서는 一部에서는 核周邊에서 당원과립의 蓄積과 消失로 인한 細胞 小機關들이 없는 透明한 形態를 하고 있고, 사립체 크기도 不均衡하며, 다수의 지방소적, 분절된 조면 내 형질세망의 불규칙한 배열들이 특징적으로 관찰되었다(Fig. 16). NK 投與群에서는 實驗 1주와 2주에서 一部 肝細胞의 核은 크기와 핵소체수도 다소 증가되었으나 NMP 投與群과 比較하여 染色質의 濃縮과 불규칙한 정도는 심하지 않았다. 細胞質에서도 조

면 내형질세망의 배열이 다소 불규칙하나 기타 세포소기관과 지방소적의 변화는 관찰할 수 없었다. 實驗 4주에서 핵은 불규칙한 외형과 핵소체의 發達이 觀察되나 지방소적들은 포함하고 있지 않았다. 細胞質에서도 당원과립의 변성, 지방소적의 축적 및 조면 내형질세망의 분절 등 일련의 변화는 NMP 投與群과 比較해서 경미하였다(Fig. 17).

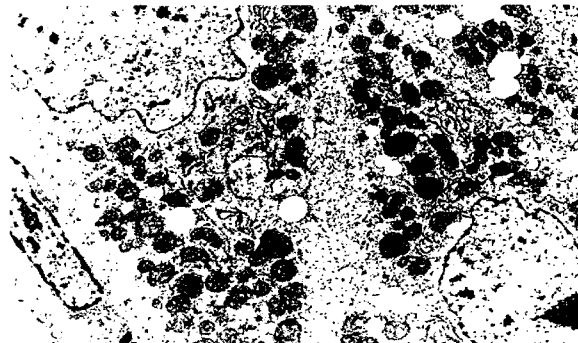


Fig. 16. Electron micrograph of the hepatocytes after 4th week treated with NMP. Uranyl acetate and Lead citrate stain,  $\times 6,000$ . Nucleus of hepatocyte was more irregular shaped, and accumulation of lipid droplet like were founded in the nucleus and cytoplasm of hepatocyte.



Fig. 17. Electron micrograph of the hepatocytes after 4th week treated with KCGT and NMP. Uranyl acetate and Lead citrate stain,  $\times 6,000$ . Nucleus of hepatocyte was irregular shaped

## 고 찰

最近 現代 社會의 複雜性으로 인한 過多한 스트레스와 飲酒, 인스턴트 為主의 食生活, 各種 藥物의 誤濫用, 環境問題로 인한 中毒 및 運動量의 減少 등으로 인해 各種 肝疾患이 增加 趨勢에 있다<sup>1)</sup>. 2000년 統計廳 資料1>에 의하면 肝, 肝內膽管의 惡性 新生物과 肝硬化, 肝炎 등의 肝損傷으로 인한 死亡者 數가 循環器, 新生物 疾患에 이어 死因 3位를 차지한다고 報告되었다. 이러한 數值는 全體 OECD 會員國중 結核과 함께 가장 높은 死亡率로 이에 대한 治療 對策이 國家的 關心事가 되고 있다.<sup>1)</sup> 肝損傷中 높은 死亡率를 나타내는 肝硬變은 여러가지 疾患에 의해 나타나는 慢性的인 肝損傷의 結果로서, 肝의 構造에 미만성으로 非可逆性의 變化를 招來하고 纖維增殖과 結節性再生을 特徵으로 한다.原因是 B, C型 肝炎 바이러스, 慢性 自家免疫性 肝炎, 藥物, 알콜,

1) 통계청, [http://www.nso.go.kr/cgi-bin/sws\\_999.cgi](http://www.nso.go.kr/cgi-bin/sws_999.cgi)

膽道 閉鎖性 疾患 및 혈색소증 등이 原인이 되고 있다. 특히 肝硬變의 一部는 전구암 病變으로 알려져 있으며, B · C型 肝炎 바이러스에 의한 肝硬變症에서 肝癌의 發生率이 높다고 報告되고 있다<sup>23,18)</sup>. 男性에서 3위, 女性에서 4위의 發生率을 점하고 있는 肝癌은 크게 肝의 實質細胞에서 起源하는 肝의 新生物를 肝細胞癌(hepatocellular carcinoma)이라 하고 小管細胞에서 起源하는 新生物을 膽管癌(cholangio carcinoma)이라 한다<sup>18)</sup>. 韓醫學에서 肝損傷은 風 · 寒 · 濕 · 熱 등의 外邪의 直接的 侵入과 多樣한 內因에 의하여 肝의 主作用인 疏泄作用과 藏血作用의 失常으로 일어나며, 肝炎, 肝硬化 및 肝癌으로 인한 肝損傷은 주로 肝熱, 勞倦傷, 黃疸, 腸痛, 積聚, 鼓脹, 酒傷 등의 症狀에서 다루어지고 있다<sup>7-9)</sup>. 一例로 《靈樞》<sup>19)</sup> 〈論疾診尺論〉의 “身痛而色微黃 齒垢黃 爪甲上黃 黃疸也”, 《素問》<sup>20)</sup> 〈刺熱篇〉의 “肝熱病者 小便先黃 腹痛 多臥 身熱” 등은 오늘날 肝炎으로 인한 症狀과 類似하게 表現되었으며, 《靈樞》<sup>19)</sup> 〈水脈篇〉의 “腹脹 脘而大…色蒼黃 腹筋起…”, 《傷寒論》<sup>21)</sup>의 “黑瘴其腹脹如水狀 大便必黑 時溏腹滿者難治” 등은 黃疸과 腹水를 同伴한 肝硬化 末期의 症狀과 類似하게 表現되었다. 또한 《難經》<sup>10)</sup>의 “脾之積… 腹大如盤, 久不愈, 令人四肢不收, 發黃疸, 飲食不爲肌膚”, 《諸病源候論》<sup>11)</sup>의 “診得肝積…脇下痛引少腹 …… 身無膏澤, 喜轉筋, 爪甲枯黑”, 《聖濟總錄》<sup>12)</sup>의 “積氣在腹中, 久不差 …致臟腑氣虛弱, 飲食不消, 按之其狀如杯盤卑結, 久不已, 令人身瘦而腹大 至死不消”, 《肘後備急方》<sup>13)</sup>의 “…腹中有物如石 痛如刺 畫夜啼呼 不治之百日死” 등은 現在의 肝癌으로 인한 腸痛, 腹水, 黃疸 및 營養障礙 등의 病症과 類似하다고 볼 수 있다. 따라서 이러한 疾患 및 症狀에 사용된 藥物과 處方이 現在 肝硬化, 肝癌으로 인한 肝損傷의 治療와 預防을 위해 應用되고 있으며, 이 밖에도 禁酒藥을 이용한 肝機能改善에 대한 研究<sup>22)</sup>도 活發하게 이루어지고 있다. 肝癌의 發生은 身體 다른 組織이나 臟器들과 類似하게 여러 發癌 段階를 거쳐 形成되며, 肝炎, 肝纖維化, 肝硬化 및 惡性腫瘍으로 發生되고 終局에는 轉移까지 일으킨다<sup>1,18)</sup>. 大部分의 肝癌은 늦게 發見되는 경우가 많아 극히 드문 경우에 手術의 方法이 施行된다. 放射線 療法이나 抗癌劑는 아직은 肝癌에는 特別한 效果가 없는 것으로 報告되고 있으며, 最近에는 肝動脈 塞栓術(hepatic artery embolization)이 切除 不可能한 肝癌患者에서 生存率을 增加시키는 效果가 있는 것으로 알려져 있다<sup>23)</sup>. 이러한 現實의 問題로 肝癌에 대한 多樣한 研究가 進行되고 있는데, 最近에는 分子生物學의 發展과 더불어 細胞死滅(apoptosis), 纖維化 關聯因子, 細胞 週期 調節遺傳子 및 腫瘍抑制 遺傳子 등에 대한 研究<sup>2-6)</sup>가 活發하게 이루어지고 있다. 本 實驗에서는 NMP에 의한 發癌 動物 病態 모델을 사용하여 血清內 臨床化學指數, 抗酸化物(GSH), 脂質過酸化物(MDA) 變化, 免疫組織化學의 變化 및 組織 · 微細構造의 變化 등에 미치는 影響을 評價하였다. 흰쥐를 이용한 實驗的 肝癌 모델은 사람과 많은 類似性을 보인다는 점에서 使用되고 있는데, 本 實驗에서 使用한 NMP에 의한 發癌 病態 모델은 Bannasch 등이 開發한 모델<sup>24,25)</sup>이다. 이는 試料를 數周間 投與한 다음 中斷하고 다시 發癌 物質이 없는 基礎 飼料를 投與하는 方法(stop model)으로 肝細胞癌腫를 形成한다. 특히

肝細胞癌腫은 東部 亞細亞를 비롯해 아프리카 등에서 높은 發生率을 보이며, 우리나라에서도 胃癌과 더불어 높은 發生 頻度를 보이고 있어, NMP에 의한 發癌 病態 모델은 肝癌 研究에 適切한 모델로 認識되고 있다. 各種 藥劑의 複合 處方이 NMP에 의한 實驗的 肝癌에 미치는 影響에 대한 先行 研究로 Tatsuta 등<sup>26)</sup>은 Xiao-Chai-hu-tang(TJ-9)이 0.5%의 濃度群에서 補助 T 림프구 比率의 顯著한 增加와 전암성 病所 指標 因子들의 顯著한 減少를 誘發하였다고 報告하였으며, 이 밖에도 Shi quan da bu tang(TJ-48)이 태반형 GST, gamma-glutamyl transpeptidase (GGT)의 陽性 病所의 數와 發顯 面積을 顯著히 減少시키고, Chai hu gui zhi tang(TJ-10)이 組織學의 由衷 肝의 전암성 結節의 形成과 數의 減少와 더불어 태반형 GST의 陽性 病所 面積과 細胞增殖을 顯著히 減少시켰다고 報告<sup>27)</sup>한 바가 있다. 本 研究 結果 血清內 臨床化學의 指數 變化에서는 對照群에서 AST, ALT, ALP 및 total bilirubin이 實驗期間에 비례하여 높은 上升值를 나타내어 NMP에 의한 肝損傷이 점점 심해짐을 알 수 있었다. 이 외는 달리 NMP와 加味淸肝湯 併用 投與群(NK)은 血清中 AST, ALT, total bilirubin이 實驗 4주째 顯著히 減少하였으며, ALP는 AST, ALT 結果值에 비하여 減少의 폭은 적었으나, 이 역시 實驗 4째 對照群과 比較하여 減少하여, 血清內 臨床化學의 指數 變化는 實驗 期間이 지날수록 加味淸肝湯 併用 投與群(NK)에서 效果의 減少가 나타남을 알 수 있다. 이 같은 結果는 正常細胞에 대한 細胞毒性 結果와 連繫하여 볼 때, 臨床에서 肝癌 患者에 長期의 由衷 投與할 수 있음을 示唆하고 있다. 一般的으로 GSH는 細胞內에서 superoxide, singlet oxygen, hydroxyl radicals과 같은 物質의 消耗를 誘導하므로써 antioxidant 방어 기작을 하는 重要한 物質이다<sup>28)</sup>. 이러한 物質의 損傷은 oxygen free radicals이 細胞內로 多量 誘入되는 結果를 招來하여 oxidative stress와 apoptosis를 誘發한다<sup>28,29)</sup>. 체내 형성되는 脂質過酸化은 生體膜에 多量 存在하는 不飽和脂肪酸은 酸素에 露出되면 脂質過酸化가 일어난다. 이러한 脂質過酸化로 인해 脂質分子의 構造의 變化가 넓은 範圍에 걸쳐 일어나면 生體膜 流動性的 減少, 막전압(membrane potential)의 減少, 이온 透過性的 증가, 細胞 小機關 内容物의 漏出 등이 豫想되고 結局은 細胞機能의 低下와 細胞死(cell death)를 초래할 수 있다<sup>30)</sup>. 脂質過酸化物質의 한 종류인 MDA의 경우 脂質, 蛋白質, 核酸과 같은 生體物質과 交叉反應을 일으켜 多樣한 非異狀의 物質을 生成한다<sup>30,31)</sup>. 따라서 本 實驗에서는 GSH와 MDA 含量 測定을 통한, 活性 遊離 酸素에 의한 細胞 損傷에 대한 防禦 作用을 評價하였다. 肝癌腫(HCC)에 대한 抗酸化 effect에 대한 報告들로 Bellisola<sup>32)</sup>은 HCC에서 catalase活性이 顯著히 減少되었고, Huang<sup>33)</sup>은 自由基 scavenger system의 不均衡, 脂質過酸化量의 增加를, Muzio 등<sup>34)</sup>은 SOD, GSH, GST活性度의 減少를 각각 報告한 바가 있다. 本 實驗에서 組織內 GSH 含量은 對照群에서 實驗 4주에 顯著히 減少하였고, 反面에 加味淸肝湯 併用 投與群(NK)은 實驗 4주에 正常群과 비슷한 結果值를 보였다. 또한 組織內 MDA 含量 變化에서도 實驗 1주와 4주에 正常群에 비하여 顯著하게 增加된 對照群과는 달리 正常群에 비하여 增加하였으나 增加幅은 적게 나타났다. 이 같은 結

果는先行研究者들의研究結果와同一한結果로化學物質로인해發生한組織內活性酸素에 대하여本試料가一定한抗酸化作用을發揮함으로써肝損傷을防止함을 알수 있다. 또한KCGT投與群에서投與1주에서는各種血清酵素指標들과MDA 및 GSH는 큰差異點이觀察되지 않았으나,實驗期間에比例하여量的變化가크게好轉된것으로보아發癌進行을抑制하는效果가있음을示唆하고있다.化學的肝癌誘發의共通되는組織學的特徵으로는正常細胞로보이는일부肝細胞가分化또는改造(remodeling)되면서纖維화와함께結節(nodule)을形成하게되며,이러한結節은發癌刺戟이없어지면消失되거나,細胞增殖을통해增殖性結節로된다라고報告<sup>35)</sup>되고있다. NMP에의한發癌病態모델에서의組織學的인實驗報告로는Strobel 등<sup>35)</sup>이하루에체중kg당1~3mg濃度로7~75주동안經口投與한結果透明하고,好酸性細胞와또는混合된形態의細胞들을包含하는變形된增殖性小結節(proliferative foci of altered hepatocyte)이다수出現하였으며,增殖된小結節을形成하는細胞들에서核의부피增加,豐富한당원과SER,단수화물代謝의여러酵素의活性變化,分裂細胞의增加를觀察되었다고報告한바가있다.또한Steinberg 등<sup>36)</sup>은NMP投與時細胞들은透明하고好酸性細胞들이結節을形成하며,일부膽管細胞는肝細胞와類似한形態로變化되었으며,肝實質細胞에서주로觀察되는L-pyruvate kinase(PK)가많은당원과립을包含하는細胞들에서주로觀察되다가NMP投與로당원缺損部位에서는L-PK들이담관상피나동양혈관및혈관벽세포들에서주로發顯되는M2-PK로바뀌면서發顯된다고report하였다.本實驗에서도組織 및微細構造의觀察結果對照群에서는1주에서局所多發的으로肝實質細胞의變成으로好酸性細胞들과clear cytoplasm을가지는細胞들이出現하였다.實驗4주에서는實質細胞들의크기가大小不同形을가지면서小葉構造의심한변화를보였고,纖維화와함께小結節들이형성되어先行研究들과유사한변화소견을보였다.上記한對照群과는달리加味清肝湯併用投與群(NK)에서는一部細胞들에서好酸性細胞,clear cytoplasm을가지는細胞,膨脹된핵들이時間이經過함에따라수가增加되었으나增加정도는對照群에비해현저히減少되었다.특히實驗4주에서는對照群에서觀察되는細胞質내지방적,핵의크기및주변문맥역에서炎症細胞들도顯著히減少되거나觀察되지않았다.電子顯微鏡의觀察에서도染色質의濃縮및濃縮된核小體등核의變化와細胞質内조면내형질세망의分節,자유리보솜의增加및지방소작들이實驗期間에比例하여增加된對照群에비하여,加味清肝湯併用投與群에서實驗期間에따라微細構造의變化程度는훨씬輕微하였다.특히本實驗期間동안NMP投與로細胞의뚜렷한初期變化로核의變化를들수있는데,實驗1주에서부터뚜렷한核의크기變化와微細構造의으로確認된外形의變化를들수있다. Enzmann과Bannasch<sup>37)</sup>등도흰쥐를이용하여NMP를7주동안經口投與하고40주동안觀察結果,投與後10주후문맥역주변에核의부피增加와N/C率의顯著한變化를보였고,發癌劑의濃度에따라서도10~100배정도의核크기增加가나타났다고report한바

가있다. NMP투여에의한核과遺傳物質의변화에대한研究들로Ashby와Lefevre등<sup>38)</sup>도NMP를10~200mg/kg을經口投與한結果2.5~12시간에서非計劃된DNA合成(unscheduled DNA synthesis)反應이나타나고하였으며,Korr등<sup>39)</sup>은過量投與時mitochondrialDNAsynthesis및細胞增殖도增加한다고하였다.따라서發癌初期段階의核變化는遺傳物質의不均衡과核代謝와關聯된여러物質의複合的인不均衡에따라서부피와形態學의變化를同伴하고있음을示唆하고있다.本實驗에서도核의數 및內部變化에서實驗期間에比例하여뚜렷한增加와上記한變化들이發生하였으나,加味清肝湯併用投與群에서는對照群에비하여특히增加된核의數의變化가훨씬減少되었다.또한전암성病變의指標物質로이용되고있는태반형GSH의變化도本實驗에서實驗初期에는細胞單獨혹은局所的小數의細胞들에서觀察되었고,實驗期間에比例하여廣範圍한部位에서陽性發顯面積의增加가觀察되어先行研究들과유사한결과를보였고,이역시加味清肝湯併用投與群은對照群에비해顯著히減少하였다.따라서본연구결과들을종합해볼때加味清肝湯은NMP병태모델에서血清成分(AST,ALT,ALP,T.bilirubin)의變化,抗酸化物(GSH),脂質過酸化(MDA),전암성病變指標物質(GST),核의變化및形態學의(組織및細胞微細救助)變化들의정도가對照群에비하여輕微하게나타남으로써,NMP에의한肝癌發生過程을沮害하는effect가있음을시사하고있어,향후核의변화와함께遺傳物質의변화에대한分子生物學의연구결과가기대된다.

## 결 론

加味清肝湯이前癌性病變過程에미치는影響을檢索하기위하여NMP투여후血清生化學,脂質過酸化,抗酸化,免疫組織學의變化및形態學의變化등을관찰한결과,血清中AST,ALT,ALP및totalbilirubin數値은모두加味清肝湯併用投與群에서initial에는對照群과비슷한數値을보였으나,實驗4주에서는顯著히減少하였고,GSH,MDA含量變化는加味清肝湯併用投與群에서實驗4주에對照群에비하여각각有意性있는增減을나타내었다.一般組織學의變化는對照群4주에서는細胞質내지방적,核의크기및周邊門脈域에서炎症細胞들이觀察되었고,加味清肝湯併用投與群에서는현저히減少되거나觀察되지않았으며,GST-P의免疫組織學의變化는加味清肝湯併用投與群에서time經過에따라對照群에비해陽性發顯정도는顯著히減少하였다.增加된核의數는모든實驗群에서實驗期間에比例하여增加하였으나,對照群에비해加味清肝湯併用投與群에서는顯著히減少하였다.電子顯微鏡의變化는對照群에서핵의변화,당원과립의변성,지방소작및조면내형질세망의분절등이觀察되었으나,加味清肝湯併用投與群에서는對照群에비하여이들의變化degree가훨씬輕微하였다.以上的結果로보아加味清肝湯은NMP投與에의한前癌性病變과정에서肝損傷에대한保護effect가認定되어,向後臨床에서도간암을비롯한多樣한肝疾患에應用될수있을것으로사료된다.

## 참고문헌

1. 김동준 : 肝纖維症의 藥物治療, 大韓肝學會誌, 7:6-11, 2001.
2. 강윤정 : 原發性 肝細胞癌腫의 分子生物學的 解釋, Medical Postgraduates, Vol. 26, No. 6., pp.350-356, 1998.
3. Feng SL, Guo Y, Factor VM, et al. The Fn14 immediate-early response gens is during liver regeneration and highly expressed in both human and murine hepatocellulae carcinomas. Am J Pathol, 156:1253-1261, 2000.
4. De Lange R, Burtscher H, Jarsch M, Weidle UH. Identification of metastasis-associated genes by transcriptional profiling of metastatic versus non-metastatic colon cancer cell lines. Anticancer Res. 2001;21(4A):2329-39.
5. Hondermarck H, Vercoutter-Edouart AS, Revillion F, Lemoine J, el-Yazidi-Belkoura I, Nurcombe V, Peyrat JP. : Proteomics of breast cancer for marker discovery and signal pathway profiling. Proteomics., 1(10):1216-32, 2001.
6. Shimo T, Nakanishi T, Nishida T, Asano M, Sasaki A, Kanyama M, Kuboki T, Matsumura T, Takigawa M. : Involvement of CTGF, a Hypertrophic Chondrocyte-Specific Gene Product, in Tumor Angiogenesis. Oncology., 61(4):315-22, 2001.
7. 李定濟 : 東醫肝系內科學, 서울, 集文社, p.28, p.30, pp.51-53, p.85, 1983.
8. 金秉雲外 : 肝系內科學, 서울, 東洋醫學研究所出版部, pp.24-30, 1992.
9. 郎傳君 : 抗癌中藥一千方百, 中國醫藥科技出版社, pp.270-273, 1999.
10. 扁鵲 : 難經, 臺北, 旋風出版社, pp.97-99, 1974.
11. 巢元方 : 諸病源候論(文淵閣四庫全書 卷2), 서울, 麗江出版社, p.576, 644, 691, 692, 1987.
12. 趙佶外 : 聖濟總錄, 臺北, 新文豐出版社, p.616, 723, 1023, 1979.
13. 葛洪 : 脅後備急方, 北京, 人民衛生出版社, p.102, 1983.
14. 趙鍾寬 : 韓方臨床腫瘍學, 周珉出版社, pp.678, 2001.
15. Wiemann C, Enzmann H, Loser E, Schluter G. : Nonlinearity of nuclear enlargement in hepatocytes induced by the carcinogen N'- nitrosomorpholine in Ovo. Cancer Detect Prev., 23(6):485-95, 1999.
16. Eyer P, Podhradsky D. : Evaluation of the micromethod for determination of glutathione using enzymatic cycling and Ellman's reagent. Anal Biochem., 153(1):57-66, 1986.
17. Ohkawa H, Ohishi N, Yagi K. : Assay for lipid peroxides in animal tissues by thiobarbituric acid reaction. Anal Biochem., Jun;95(2):351-8, 1979.
18. 全國醫科大學教授 : 오늘의 診斷 및 治療, 圖書出版 한우리, pp.711-737, 1999.
19. 裴秉哲 : 今釋黃帝內經(靈樞), 成輔社, pp.425-428, 544-550, 1994.
20. 裴秉哲 : 今釋黃帝內經(素問), 成輔社, pp.304-310, 1994.
21. 張仲景 : 金匱要略, 中醫古籍出版社, p.43, 1997.
22. 姜在春 : 禁酒患者 102名에 對한 臨床的 考察, 大韓韓醫學會誌 17(2), pp.251- 263, 1996.
23. 김복자 : 癌患者看護症狀管理, 현문사, pp.169-181, 2000.
24. Bannasch P, Enzmann H, Kuhlem C, Loser E, : Dose dependence of diethylnitrosamin-induces nuclear enlargement in embryonal turkey liver. Carcinogenesis, 16:1351-1355, 1995.
25. Bannasch P : The cytoplasm of hepatocyte during carcinogenesis. Rec Res Cancer Res 19:1-100, 1968.
26. Tatsuta M, Iishi H, Baba M, Nakazumi A, Uehara H : Inhibition by Xiao-Chai-hu-tang(TJ-9) of development of hepatic foci induced by N-nitrosomorpholine in Sprague-Dawley rats. Jpn J Cancer Res, 82: 987-992, 1991.
27. Tatsuta M, Iishi H, Baba M, Narahara H, Yano H, Sakai N : Supression by Chai-hu-gui-zhi-tang of the development of liver lesions induced by N-nitrosomorpholine in Sprague-Dawley rats, Cancer Lett 152:31-36, 2000.
28. Lavrentiadou SN, Chan C, Kawcak T, Ravid T, Tsaba A, van Der Vliet A, Rasooly R, Goldkorn T. : Ceramide-mediated apoptosis in lung epithelial cells is regulated by glutathione. Am J Respir Cell Mol Biol., 25(6):676-84, 2001.
29. Pimentel DR, Amin JK, Xiao L, Miller T, Viereck J, Oliver-Krasinski J, Baliga R, Wang J, Siwik DA, Singh K, Pagano P, Colucci WS, Sawyer DB. : Reactive oxygen species mediate amplitude-dependent hypertrophic and apoptotic responses to mechanical stretch in cardiac myocytes. Circ Res., 89(5):453-60, 2001.
30. Anuradha CD, Kanno S, Hirano S. : Oxidative damage to mitochondria is a preliminary step to caspase-3 activation in fluoride-induced apoptosis in HL-60 cells. Free Radic Biol Med., 31(3):367-73, 2001.
31. Slatter DA, Bolton CH, Bailey AJ. : The importance of lipid-derived malondialdehyde in diabetes mellitus. Diabetologia., 43(5):550-7. Review, 2000.
32. Bellisola G, Casaril M, Gabrielli GB, Craffi M, Corrocher R : Catalase activity in human hepatocellular carcinoma (HCC). Clin Biochem 20: 415-417, 1987.
33. Huang NK, Wan FJ, Tseng CJ, Tung CS. : Amphetamine induces hydroxyl radical formation in the striatum of rats. Life Sci., 61(22): 2219-29, 1997.
34. Muzio G, Marengo B, Salvo R, Semeraro A, Canuto RA, Tessitore L : Liver cancer is induced by subnecrogenic dose DENA when associated with fasting/refeeding : role of glutathione-transferase and lipid peroxidation. Free Radic Biol Med 26:1314-1320, 1999.
35. Strobel P, Klimea F, Zerban H, Kopp-Schneider A,

- BaKKasch P : Xenomorphic hepatocellular precursor and neoplastic progression of tigroid cell foci induced in rats with low doses of N-nitrosomorpholine. *Carcinogenesis*, 19:2069-2080, 1998.
36. Steinberg P, Klingelhoffer A, Schafer A, Wust G, Weibe G, Oesch F, Eigenbrodt : Expression of pyruvate kinase M2 in preneoplastic hepatic foci of N-nitrosomorpholine-treated rats, *Virchows Arch*, 434:213-220, 1999.
37. Enzmann H, Bannasch P : Morphometric study of alterations of extrafocal hepatocytes of rat liver treated with N-nitrosomorpholine. *Virchows Arch B Cell Pathol Incl Mol Pathol*, 53: 218-226, 1987.
38. Ashby J, Lefevre PA, The rat-liver carcinogen N-nitrosomorpholine initiates unscheduled DNA synthesis and induce micronuclei in the rat liver in vivo. *Mutat Res*, 225:143-147, 1989.